

محاسبه حجم سیالات مرزی و آزاد و تعیین نفوذ پذیری مخازن هیدروکربنی به روش تشدید مغناطیسی هسته‌ای

پژوهش نفت

سال بیست و چهارم
شماره ۷۷
صفحه، ۴۳-۲۴
۱۳۹۳ تاریخ دریافت مقاله: ۹۰/۲/۳۱
تاریخ پذیرش مقاله: ۹۱/۴/۲۶

حمیده مجرد^{*} و زهره کارگر
بخش فیزیک، واحد بین الملل دانشگاه شیراز، شیراز، ایران
h_moj66002@yahoo.com

واژه‌های کلیدی: تشدید مغناطیسی هسته‌ای، نفوذ پذیری،
حجم آب ناحیه مرزی، حجم سیال آزاد، حجم آب ناحیه رسی

مقدمه

روش تشدید مغناطیسی هسته‌ای از همان ابتدای ارائه در سال ۱۹۴۶، تبدیل به ابزاری قدرتمند و ارزشمند در فیزیک، شیمی، زیست‌شناسی و پژوهشی شده است. به طوری که امروزه در صنعت نفت از NMR^۱ برای تعیین ویژگی‌های پتروفیزیکی مخازن در آزمایشگاه و چاه‌های نفت و گاز استفاده می‌گردد. نگاربرداری تشدید مغناطیسی هسته‌ای در سال ۱۹۹۱ معرفی شد. نگار NMR برای اولین بار در سال ۲۰۰۳ میلادی در ایران رانده شد و از آن پس برای شناسایی ویژگی‌های مخازن در میادین جنوبی همچون سازند کنگان در میدان پارس جنوبی و... به کار رفته است. تخلخل مستقل از لیتوژئی، نفوذ پذیری، توزیع

چکیده

نمودارگیری به روش تشدید مغناطیسی هسته‌ای، روشن نوین برای دسترسی دقیق به پارامترهای پتروفیزیکی مخازن هیدروکربنی در صنعت نفت به شمار می‌آید. در این تحقیق با استفاده از حضور هسته هیدروژن در سیالات مخزن و با بهره‌گیری از مزیت روش NMR در تعیین اندازه حفره‌ها، در ابتدا به دو شیوه حجم آب ناحیه مرزی و حجم سیال آزاد چاهی کربناته در جنوب غربی کشورمان تعیین شده و سپس نفوذ پذیری NMR با استفاده از دو مدل SDR و Coates توسط نرم‌افزار ژئولاگ محاسبه گردید. نتایج یکسان حاصل از دو شیوه NMR برای تعیین حجم سیالات مرزی، با ضریب همبستگی ۰/۹ نشان می‌دهد که روش CBFV برای چاه مورد بررسی معتبر است. ضریب همبستگی ۰/۷ که از مقایسه نتایج NMR و مغزه برای پارامتر نفوذ پذیری حاصل شد، بیان گر این است که روش NMR می‌تواند مقادیر نفوذ پذیری را به درستی پیش‌بینی نماید. به همین دلیل، این روش می‌تواند جایگزین روش‌های قدیمی و پرهزینه گردد.

1. Nuclear Magnetic Resonance

توالی پالس CPMG^۱ (یک پالس ۹۰ درجه که به دنبال آن سری های طولانی از پالس های ۱۸۰ درجه می آیند)، برای ثبت رشته پژواک - اسپین (سیگنانل) استفاده می شود. با این وجود ناهفازی ناشی از برهمنکش های مولکولی و پخش باقی می مانند و باعث می شوند مغناطش عرضی^۲ با ثابت زمانی واپاشی_۲, T_۲, که زمان آسایش عرضی^۳ نامیده می شود، واپاشی نماید [۳].

ثبت واپاشی_۲ هسته های درون سازند، بیشترین اطلاعات پتروفیزیکی را دربردارد لذا اندازه گیری T_۲ اصلی ترین هدف نمودار گیری NMR است. در چرخه اندازه گیری فاصله اعمال پالس های (TE)، تعداد پژواک ها (NE) و زمان قطبش (TW) سه پارامتر کلیدی هستند که با توجه به هدف از اندازه گیری و حساسیت دستگاه توسط مهندس عملیات تنظیم می شوند.

TW باید به اندازه کافی طولانی باشد تا هسته های هیدروژن درون سیال به قطبیدگی کامل برسند. TE نیز باید به اندازه کافی کوتاه باشد تا واپاشی مربوط به سیالات درون حفره های ریز رسمی ثبت گردد. انتخاب نادرست این مقادیر باعث بروز خطأ در تخلخل خام و در نتیجه سایر پارامترها می شود [۱].

سه مکانیزم آسایش توده ای، آسایش سطحی و آسایش پخش القایی به موازات هم برای سیالات درون حفره های سنگی رخ می دهد. چون ثابت واپاشی دامنه رشته پژواک به اندازه حفره و نوع سیال درون آن بستگی دارد و مخازن سنگی دارای توزیعی از اندازه حفرات بوده و حاوی بیش از یک نوع سیال هستند، دامنه رشته پژواک اسپین با توزیعی از مقادیر T_۲ واپاشی می کند [۴ و ۵].

دامنه اولیه رشته پژواک اسپین با تعداد هسته های هیدروژن سیالات درون حفره داخل حجم حساس مناسب است. بنابراین دامنه را می توان برای دست یابی به تخلخل کالیبره کرد [۱].

اندازه حفرات، گرانزوی سیال، حجم سیال آزاد و مرزی از پارامترهایی هستند که می توان مقادیر آنها را با استفاده از این نگار به دست آورد [۱]. اکثر سازندهای کربناته دارای تغییرات گسترده ای در خواص پتروفیزیکی از جمله ناهمگنی ها و اندازه حفرات هستند. به همین دلیل تخمین نفوذپذیری در این نوع مخازن کاری بسیار پیچیده و دشوار به حساب می آید. لذا برای آنکه زمین شناسان و مهندسین مخزن بتوانند مدل مناسبی از مخزن طراحی کنند، نیازمند داشتن ابزاری مستقل از لیتوژوژی همچون NMR هستند تا با بهره گیری از آن، خواص سنگ های کربناته را با دقت بالایی ارزیابی نمایند.

اصول فیزیکی و پتروفیزیکی MRIL^۱

تشدید مغناطیسی هسته ای به پاسخ هسته اتم به میدان های مغناطیسی اعمال شده اتلاع می شود، به طوری که خواص هسته های موجود داخل سیال از روی ویژگی های برهمنکش آنها با میدان مغناطیسی تعیین می گردد. اندازه گیری های NMR را می توان برروی هسته هایی که دارای تعداد نوترن یا پروتون واحد یا هردو باشد، انجام داد. به عنوان مثال از آن جایی که هیدروژن در آب و هیدروکربن ها فراوان بوده و سیگنانلی نسبتاً قوی تولید می کند، تقریباً تمامی نگاربرداری ها و مطالعات NMR سنگ برپایه پاسخ هسته اتم هیدروژن به میدان های مغناطیسی اعمال شده قرار گرفته است. فرآیند نگاربرداری بدین شکل است که در نبود میدان خارجی، ابتدا جهت گیری پروتون ها به صورت تصادفی است. سپس با اعمال میدان مغناطیسی ایستای_۰ B_۰ پروتون ها با ثابت زمانی_۱ T_۱ که زمان آسایش طولی^۲ نامیده می شود، در جهت میدان جهت گیری می کنند [۲].

این میدان ناشی از یک آهنربای دائمی است که در مرکز دستگاه قرار دارد. سپس میدان نوسان کننده_۱ B_۱ به گونه ای بر سیستم اعمال می شود که پروتون ها نسبت به جهت اولیه شان دچار انحراف گردد. با قطع میدان_۱ B_۱ و ناهفازی پروتون ها به علت ناهمگنی های میدان و فرآیندهای پخش مولکولی، واپاشی القای آزاد (FID)^۳ رخ می دهد و واپاشی نمایی بسیار سریعی ثبت می شود. برای رفع این مشکل از

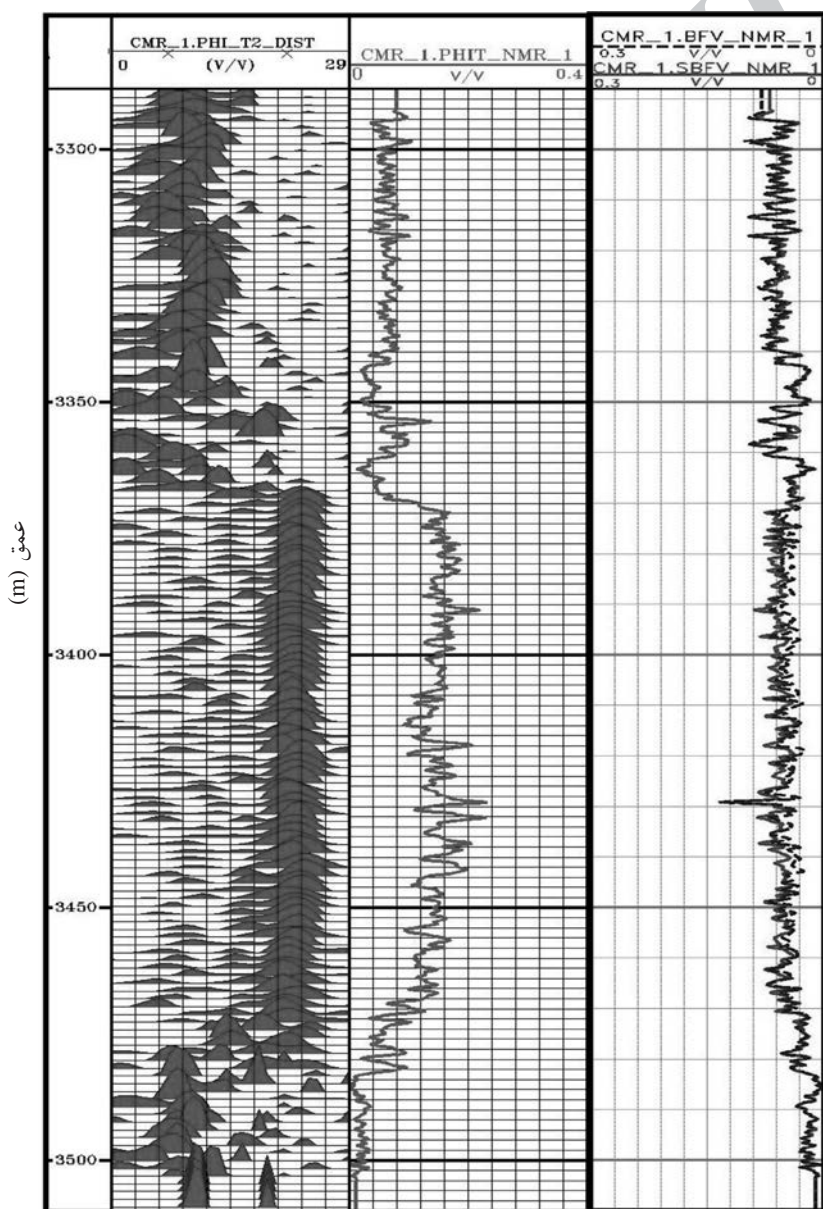
1. Magnetic Resonance Imaging Logging
2. Longitudinal Relaxation Time
3. Free Induction Decay
4. Carr,Purcell,Meiboom,Gill
5. Transverse Relaxation Time

تخلخل است بنابراین جمع دامنه‌های توزیع T_2 با تخلخل برابر می‌باشد. نتایج این محاسبات در شکل ۱ آمده است، تراک ۱ عمق مورد بررسی و تراک ۲ توزیع T_2 حاصل از معکوس سازی داده‌های پژواک اسپین را نشان می‌دهد، T_2 های کوتاه‌تر نشان‌گر حفره‌های کوچک‌تر و T_2 های طولانی‌تر نشان‌گر حفره‌های بزرگ‌تر هستند، تراک ۳ تخلخل مربوط به حفره‌ها را نشان می‌دهد. کاملاً مشخص است که در عمق‌هایی با اندازه حفره‌های بزرگ‌تر تخلخل متناظر نیز بیشتر است.

روش کار

محاسبه توزیع T_2 و تخلخل

بعد از تصحیح داده‌های خام CPMG و جداسازی نویز از سیگنال، باید قسمت حقیقی رشته پژواک برای بررسی توزیع T_2 معکوس شود. روش $2\pi/L$ [۶] برای به دست آوردن توزیع T_2 انتخاب و مقادیر پارامترهای لازم برای این محاسبات $TE = 0.2$ ms، $TE = 0.2$ ms، $TW = 3/675$ s و $NE = 5000$ در زمان T_0 برابر باشد. این دامنه متناسب با CPMG به توزیع T_2 این است که جمع دامنه‌های توزیع T_2 با دامنه CPMG در زمان T_0 برابر باشد. این دامنه متناسب با



شکل ۱- تراک ۱ عمق مورد بررسی، تراک ۲ توزیع T_2 حاصل از معکوس سازی داده‌های خام، و تراک ۳ تخلخل کل متناظر حفره‌ها و تراک ۴ نتایج محاسبات روش CBFV و SBFV برای اعتبار سنجی روش CBFV

مرزی به حساب آید، اما روش CBFV آن را به عنوان یک حفره بزرگ حاوی سیالات آزاد در نظر بگیرد. لذا فرض بر این است که هر حفره با هر بزرگی شامل مقداری سیال مرزی است که این مقدار توسط تابع وزنی برای هر گروه حفره به صورت $(T_{2,i})$ تعریف می‌شود. مدل فیلم نازک^۶، تابع وزنی و نهایتاً حجم آب مرزی را به صورت زیر ارائه می‌دهد [۹]:

$$\frac{1}{W_i} = mT_{2,i} + b \quad , \quad SBFV = \sum_{i=1}^n W_i \phi_i \quad (2)$$

و ضرایبی هستند که بهترین روش محاسبه آنها اندازه‌گیری‌هایی است که روی مغزه خارج شده از زون تحت نمودارگیری انجام می‌شود. با این وجود، Coates^۷، با بررسی مجموعه ۳۴۰ نمونه ماسه سنگ و ۷۱ نمونه کربنات، مقادیر جامعی را تعیین نموده است [۸]. با توجه به کربناته بودن سازند تحت بررسی مقادیری که برای m و b در این محاسبات استفاده شده، به ترتیب عبارتند از: 113 m/s و 0.0113 . نتایج حاصل از دو روش در تراک ۴ شکل ۱ نشان داده شده است. تطابق لگ‌ها و ضریب همبستگی 0.9 ^۸، بین نتایج دو روش، بیان گر کارآمدی روش CBFV در این چاه و عدم نیاز به سایر روش‌ها و تابع وزنی اختصاصی است.

محاسبه حجم آب ناحیه رسی و تخلخل مؤثر

برای جدا کردن ناحیه رسی، $T_{2,cutoff}$ برابر با 3 ms در نظر گرفته شد. به این ترتیب می‌توان با تقسیم‌بندی توزیع T_2 ، حجم آب ناحیه رسی، حجم آب غیرقابل کاهش و تخلخل مؤثر را به طور جداگانه توسط روابط زیر به دست آورد.

$$\begin{cases} BVI = BFV - CBW \\ PHIE = PHIT - CBW \end{cases} \quad (3)$$

آب ناحیه مویی و PHIE تخلخل مؤثر^۹ است که به صورت مجموع سیال آزاد و سیال ناحیه مویی (BVI) و یا تخلخل کل^{۱۰} منهای آب ناحیه رسی (CBW) تعریف می‌شود. تخلخل مؤثر در روابط تعیین نفوذپذیری به کار می‌رود، لذا تخلخل مؤثر نیز محاسبه گردید. نتایج حاصل در تراک ۲ و ۳ شکل ۲ نشان داده شده است.

محاسبه حجم سیالات مرزی

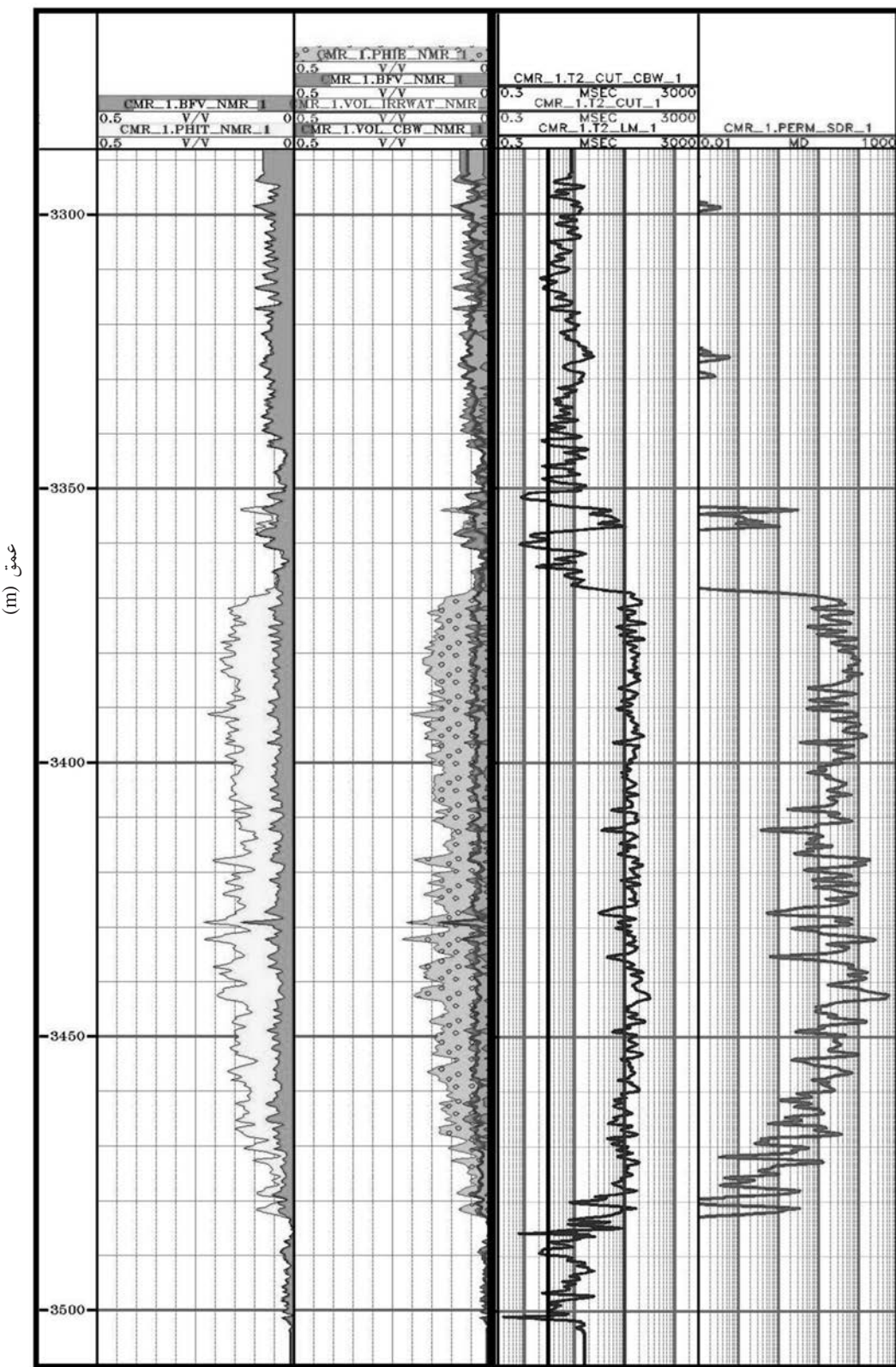
دو روش برای تعیین حجم سیال مرزی (BFV)، توسط اندازه‌گیری‌های NMR در دسترس است. اولین روش (CBFV)^{۱۱} براین فرض استوار است که سیالات مرزی در حفره‌های کوچک و سیالات قابل تولید در حفره‌های بزرگ ساکن هستند. چون مقادیر T_2 به اندازه حفره مربوط است، می‌توان مقداری از T_2 را انتخاب نمود که در کمتر از آن انتظار می‌رود سیالات متناظر در حفره‌های بزرگ بیشتر از آن انتظار می‌رود سیالات متناظر در حفره‌های بزرگ ساکن بوده و در نتیجه قادرند آزاده حرکت کنند، این مقدار T_2 اصطلاحاً $T_{2,cutoff}$ نامیده می‌شود. مقادیر $T_{2,cutoff}$ به نوع سازند (کربناته یا ماسه سنگی) بستگی دارد و معمولاً در آزمایشگاه با اشباع و واشباعی مغزه و نمودارهای مربوطه تعیین می‌گردد. مقادیر پیش فرض برای کربنات‌ها 100 ms و برای ماسه سنگ‌ها 33 ms می‌باشد. با جا به جا کردن مقدار $T_{2,cutoff}$ ممکن است مقداری از حجم سیال مرزی به حساب آید یا بالعکس. طبق اندازه‌گیری‌های انجام شده، مؤلفه‌های T_2 کمتر از 3 ms به آب ناحیه رسی، مؤلفه‌های T_2 بین 3 و 100 ms به عنوان آب ناحیه مویی و بیشتر از 100 ms به حجم سیال آزاد اطلاق می‌گردد. محدوده 0 تا 3 ms متناظر حجم رس‌هاست و امکان تعیین دقیق‌تر آن برای انواع رس‌ها تحت شرایط مختلف در آزمایشگاه وجود دارد [۷]. با این تقسیم‌بندی توزیع T_2 تخلخل را به بخش FFV و BFV^{۱۲} (سیال آزاد) تقسیم می‌کند [۸]. زمان‌های آسایش کوچک‌تر متناظر با حفره‌های کوچک‌تر است که شامل آب ناحیه مویی و آب ناحیه رسی شده و به عنوان حجم سیال مرزی (BFV)، شناخته می‌شوند. آب ناحیه مویی و آب ناحیه رسی را دربردارد:

$$BFV = BVI + CBW \quad (1)$$

همان‌طور که بیان شد، CBW با اعمال $T_{2,cutoff}$ حدوداً در 3 ms مشخص می‌شود.

روش دوم برای تعیین BFV^{۱۳} طیفی (SBFV) نامیده می‌شود و برای این تشخیص استوار است که هر حفره معلوم می‌تواند هم شامل سیالات مرزی و هم سیالات آزاد باشد. چون حفره‌ها دارای شکل‌های ساده هندسی از قبیل استوانه و کره نیستند، امکان دارد حفره شامل نامنظمی‌های کوچک زیادی باشد که سیال در آن به دام افتاده باشد و به عنوان سیال

1. Bound Fluid Volume
2. Cutoff BFV
3. Free Fluid Volume
4. Spectral BFV
5. Thin –Film Model
6. Effective Porosity
7. Total Porosity



شکل ۲- تراک ۱ عمق مورد بررسی، تراک ۲ حجم سیال مرزی به همراه تخلخل کل، تراک ۳ آب ناحیه رسی در تراک ۴ مقادیر T_2 cutoff به کار رفته و متوسط لگاریتمی توزیع T_2 و تراک ۵ نفوذپذیری حاصل از مدل SDR

الکتریکی یا شیمیایی به شبکه رس‌ها، سطح ماتریکس یا شبکه سایر کانی‌ها متصل نیست. FFV حجم سیالی است که در داخل فضای خالی قدرت حرکت دارد. حجم این سیال می‌تواند شامل نفت و آب باشد، اما آب کاهش نیافتنی را شامل نمی‌شود. مدل سیال آزاد از برش‌های مخزنی تجربی برای جدایش سیال غیرقابل کاهش (BFV) از سیال قابل تولید (FFV) استفاده می‌کند. تا زمانی که BVF هیچ نوع هیدروکربنی را شامل نشود، BFV توسط فاز اضافی سیال از قبیل نفت یا تراویده گل نفتی تحت تأثیر قرار نمی‌گیرد که این عامل مزیتی نسبت به مدل SDR به شمار می‌رود. در مدل سیال آزاد (Coates) کلی ترین شکل نفوذپذیری k از رابطه زیر به دست می‌آید [۸]:

$$K = c_2 \left(\frac{FFV}{BFV} \right)^{a_2} \cdot \phi_{NMR}^{b_2} \quad (5)$$

در این مدل پارامتر اندازه حفره از طریق T_{2LM} (متوسط لگاریتمی طیف آسايش) وارد می‌شود. تجربه نشان داده که مدل T_2 میانگین در زون‌هایی که تنها شامل آب باشند، جواب خوبی می‌دهد. مدل T_2 میانگین برای سازندهای هیدروکربنی ناموفق است، زیرا اثر هیدروکربن روی T_{2LM} غیرقابل تصحیح است. در این حالت T_{2LM} منحصراً بیان گر اندازه حفره نیست از آنجا که آب و نفت مقادیر متفاوتی دارند، حضور هیدروکربن یا تراویده گل نفتی باعث تغییر T_{2LM} و تمایل آن به سمت مایعات توده‌ای و تخمین کم نفوذپذیری می‌شود. در حالت کلی، نفوذپذیری حاصل از این مدل از رابطه زیر به دست می‌آید [۱۰]:

نفوذپذیری عبور سیال از میان حفره‌های سنتگی، نفوذپذیری نامیده می‌شود و ارتباط مستقیمی با اندازه حفره و تخلخل دارد. هر چند در اندازه‌گیری‌های NMR اندازه حفره به دست می‌آید و نه اندازه دهانه آن، اما ارتباط منحنی‌های فشار مویی و نفوذپذیری تائید می‌کند که اندازه حفره متناسب با اندازه دهانه آن است. لذا در محاسبات نفوذپذیری مدل‌های معرفی شده، علاوه بر اندازه حفره، یک ضریب اضافی نیز در نظر گرفته می‌شود.

مدل T_2 میانگین (SDR)

در این مدل پارامتر اندازه حفره از طریق T_{2LM} (متوسط لگاریتمی طیف آسايش) وارد می‌شود. تجربه نشان داده که مدل T_2 میانگین در زون‌هایی که تنها شامل آب باشند، جواب خوبی می‌دهد. مدل T_2 میانگین برای سازندهای هیدروکربنی ناموفق است، زیرا اثر هیدروکربن روی T_{2LM} غیرقابل تصحیح است. در این حالت T_{2LM} منحصراً بیان گر اندازه حفره نیست از آنجا که آب و نفت مقادیر متفاوتی دارند، حضور هیدروکربن یا تراویده گل نفتی باعث تغییر T_{2LM} و تمایل آن به سمت مایعات توده‌ای و تخمین کم نفوذپذیری می‌شود. در حالت کلی، نفوذپذیری حاصل از این مدل از رابطه زیر به دست می‌آید [۱۰]:

$$K = c_1 T_{2LM}^{a_1} \cdot \phi_{NMR}^{b_1} \quad (4)$$

T_{2LM} متوسط لگاریتمی توزیع Φ_{NMR} تخلخل مؤثر NMR و $a_1 \cdot C_1$ و b_1 ضرایبی هستند که به نوع سازند و نحوه شکل گیری آن وابسته‌اند. در محاسبات ضرایب C_1 و a_1 ، b_1 و 4 md برای سازند تحت بررسی به ترتیب مقادیر پیش فرض 4 و 2 و 4 در نظر گرفته شد.

نتایج حاصل در شکل ۲ نمایش داده شده است. تراک 4 لاغ متوسط لگاریتمی T_2 و مقادیر $T_{2cutoff}$ به کاررفته و تراک 5 لاغ نفوذپذیری حاصل از مدل SDR را نشان می‌دهد. در این نمودار نفوذپذیری بین 1 تا $58/45$ md تغییر می‌کند.

مدل سیال آزاد (Timur/Coates)

یکی از اصلی ترین اندازه‌گیری‌های NMR، اندازه‌گیری FFV است. FFV حجمی از سیال است که به صورت

در نواحی حاوی هیدروکربن می‌توان از مدل سیال آزاد استفاده نمود یا نفوذپذیری را با استفاده از روابط تخلخل و اشباع آب غیرقابل کاهش NMR، $S_{wir} = 1 - \frac{FFV}{\Phi}$ ، (به عنوان مثال رابطه ریلی و رز) محاسبه نمود.

نتایج و بحث

مقایسه نتایج دو شیوه معرفی شده برای تعیین حجم سیال مرزی توافق خوبی (ضریب همبستگی $0/9$) را نشان می‌دهد. بنابراین، می‌توان برای سازند تحت بررسی از روش معمول CBFV استفاده نمود.

نفوذپذیری

توانایی عبور سیال از میان حفره‌های سنتگی، نفوذپذیری نامیده می‌شود و ارتباط مستقیمی با اندازه حفره و تخلخل دارد. هر چند در اندازه‌گیری‌های NMR اندازه حفره به دست می‌آید و نه اندازه دهانه آن، اما ارتباط منحنی‌های فشار مویی و نفوذپذیری تائید می‌کند که اندازه حفره متناسب با اندازه دهانه آن است. لذا در محاسبات نفوذپذیری مدل‌های معرفی شده، علاوه بر اندازه حفره، یک ضریب اضافی نیز در نظر گرفته می‌شود.

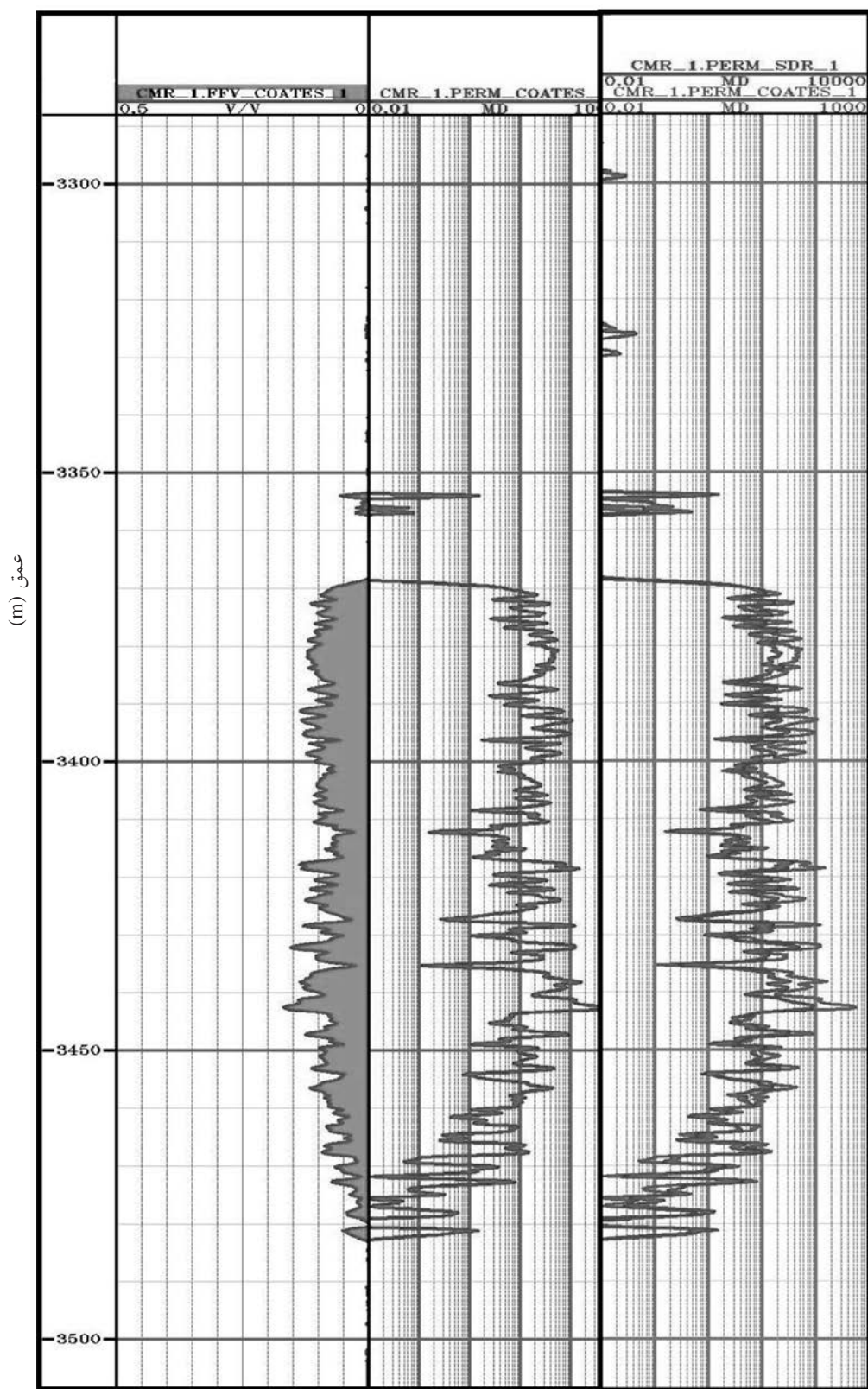
مدل T_2 میانگین (SDR)

در این مدل پارامتر اندازه حفره از طریق T_{2LM} (متوسط لگاریتمی طیف آسايش) وارد می‌شود. تجربه نشان داده که مدل T_2 میانگین در زون‌هایی که تنها شامل آب باشند، جواب خوبی می‌دهد. مدل T_2 میانگین برای سازندهای هیدروکربنی ناموفق است، زیرا اثر هیدروکربن روی T_{2LM} غیرقابل تصحیح است. در این حالت T_{2LM} منحصراً بیان گر اندازه حفره نیست از آنجا که آب و نفت مقادیر متفاوتی دارند، حضور هیدروکربن یا تراویده گل نفتی باعث تغییر T_{2LM} و تمایل آن به سمت مایعات توده‌ای و تخمین کم نفوذپذیری می‌شود. در حالت کلی، نفوذپذیری حاصل از این مدل از رابطه زیر به دست می‌آید [۱۰]:

$$K = c_1 T_{2LM}^{a_1} \cdot \phi_{NMR}^{b_1} \quad (4)$$

T_{2LM} متوسط لگاریتمی توزیع Φ_{NMR} تخلخل مؤثر NMR و $a_1 \cdot C_1$ و b_1 ضرایبی هستند که به نوع سازند و نحوه شکل گیری آن وابسته‌اند. در محاسبات ضرایب C_1 و a_1 ، b_1 و 4 md برای سازند تحت بررسی به ترتیب مقادیر پیش فرض 4 و 2 و 4 در نظر گرفته شد.

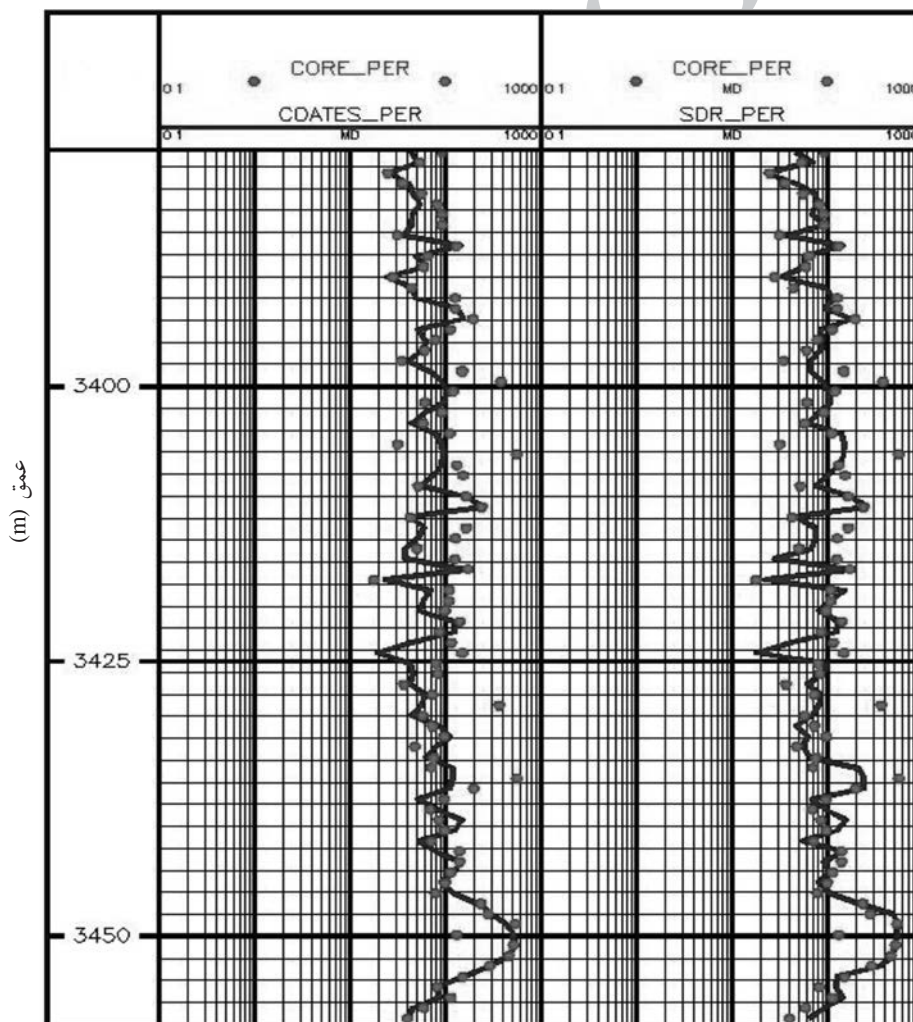
نتایج حاصل در شکل ۲ نمایش داده شده است. تراک 4 لاغ متوسط لگاریتمی T_2 و مقادیر $T_{2cutoff}$ به کاررفته و تراک 5 لاغ نفوذپذیری حاصل از مدل SDR را نشان می‌دهد. در این نمودار نفوذپذیری بین 1 تا $58/45$ md تغییر می‌کند.



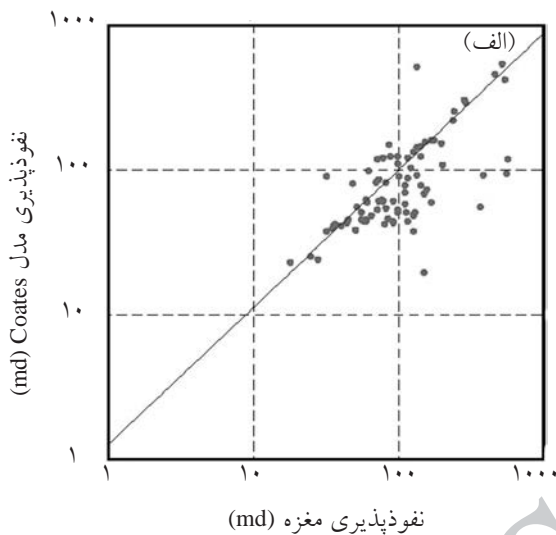
شکل ۳- تراک ۱ عمق مورد بررسی، تراک ۲ حجم سیال آزاد و تراک ۳ لاغ نفوذپذیری حاصل از مدل Coates و تراک ۴ مقایسه نتایج به دست آمده از دو مدل نفوذپذیری SDR و Coates

قسمت‌های الف و ب شکل ۵ رسم شده است. لیتوژوژی سازند مورد بررسی از نوع سنگ‌های کربناته (آهک و دولومیت) است که لایه‌های نازکی از شیل به همراه انیدریت دارد. مغزه از نوع پلاگ می‌باشد که تراوایی آن با تزریق گاز هلیوم اندازه‌گیری شده است. در این روش اثر کلینکربگ^۱ یا لرزش گاز باعث می‌شود نفوذپذیری مغزه بیشتر تخمین زده شود که بیشتر بودن نفوذپذیری مغزه نسبت به نفوذپذیری NMR^۲، شکل ۴، مشاهده NMR می‌گردد. ضریب همبستگی ۰/۷ بین داده‌های مغزه و NMR^۳ بیان گر اعتبار نتایج NMR است. در حالت کلی برای در نظر گرفتن ویژگی‌های مختص یک سازند خاص و دست‌یابی به نتایج و اطلاعات دقیق‌تر لازم است ضرایب ^۴ که در روابط دو مدل Coates و SDR^۵ به کار می‌روند را بسته به نوع سازند مورد مطالعه کالیبره نمود.

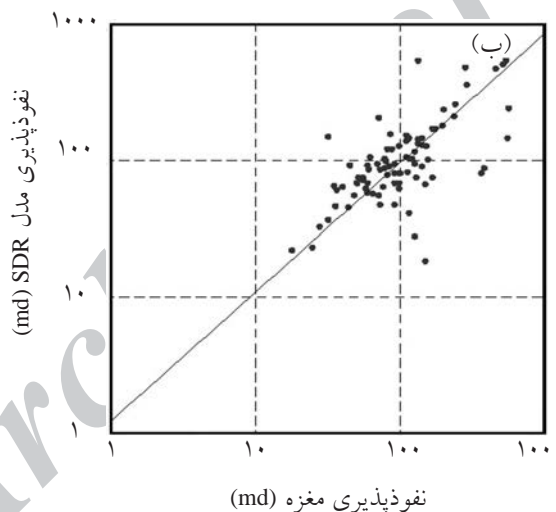
ممکن است این شیوه در مورد سازندهای دیگر مناسب نباشد و استفاده از روش SBFV و انتخاب تابع وزنی مناسب بواسطه هندسه حفره‌ها و منطبق بر نیاز موجود قابل اطمینان‌تر باشد. نتایج حاصل از دو مدل نفوذپذیری هر دو لاغ در تراک ۴ شکل ۳ رسم شده است. مقایسه نتایج نشان می‌دهد که در عمق مورد بررسی از سازند، هر دو مدل نتایج تقریباً مشابهی دارند (ضریب همبستگی ۰/۹). اما به دلیل تحت تأثیر قرار گرفتن مدل Coates^۶ نسبت به هیدرولکربن‌های موجود در حفرات، مدل Coates^۷ اطمینان‌تر است. برای اعتبار سنجی نفوذپذیری NMR، داده‌های مغزه عمق مورد بررسی تهیه و با نتایج به دست آمده مقایسه شد. با حذف شکستگی‌ها، لاغ نفوذپذیری NMR برای دو مدل Coates و SDR^۸ و نفوذپذیری مغزه در تراک‌های ۲ و ۳ شکل ۴ مقایسه شده‌اند. همچنین کراس پلات‌های متناظر در



شکل ۴- تراک ۱ عمق مورد بررسی، تراک ۲ مقایسه نفوذپذیری مغزه و نفوذپذیری مدل Coates و تراک ۳ مقایسه نفوذپذیری مغزه و نفوذپذیری SDR پس از حذف شکستگی‌ها برای داده‌های مغزه



رگرسیون نمودارهای نفوذپذیری مغزه و نفوذپذیری مدل COATES
 $COATES=10^{**}(-0.03910053+1.01955+\log_{10}(COR))$



نمودارگرسیون نمودارهای نفوذپذیری مغزه و نفوذپذیری مدل SDR
 $SDR=10^{**}(0.089603+0.946488*\log_{10}(COR))$

شکل ۵- مقایسه نتایج نفوذپذیری حاصل از (الف) مدل Coates و داده‌های مغزه در یک بازه از عمق

به دست می‌آید. ضریب همبستگی $0/7$ که بین داده‌های نفوذپذیری NMR و نفوذپذیری مغزه وجود دارد، صحت و دقت روش NMR را نشان می‌دهد.

تشکر و قدردانی
 با سپاس از پژوهشگاه صنعت نفت، شرکت نفت و گاز زاگرس جنوبی و شرکت ملی مناطق نفت خیز جنوب که طی انجام این مطالعه همواره ما را یاری نمودند.

نتیجه‌گیری
 همان‌طور که نتایج نشان می‌دهند، تنها با استفاده از ابزار چاه‌پیمایی NMR می‌توان اکثر پارامترهای پتروفیزیکی با ارزش را محاسبه نمود. نتایج یکسان دو روش CBFV و SBFV با ضریب همبستگی $0/9$ برای محاسبه حجم سیال مرسی قابل اطمینان بودن روش CBFV را برای سازند کردن ته تخت بررسی، تائید می‌نماید. همچنین دو مدل برای محاسبه نفوذپذیری ارائه گردید که نمودار پیوسته‌ای از آن

علائم و نشانه‌ها	
(V/V) : تخلخل کل $PHIT$	
S_{wir} : اشباع آب غیر قابل کاهش	B_0 : میدان مغناطیسی پایا (Tesla)
T_1 : زمان آسايش طولی (ms)	B_1 : میدان مغناطیسی نوسانی (kHz)
T_2 : زمان آسايش عرضی (ms)	BVF : حجم سیال مرزی (V/V)
قطع $T_2 : T_{2cutoff}$ (ms)	FFV : حجم سیال آزاد (V/V)
(ms) T_{2LM} : متوسط لگاریتمی توزیع T_2	K : نفوذپذیری (md)
φ : تخلخل مؤثر (V/V)	$PHIE$: تخلخل مؤثر (V/V)

مراجع

- [۱]. کارگر ز.، مجرد ح. و خوش سیما ف.، چاهنگاری به روش تشدید مغناطیسی هسته‌ای اصول و کاربردها، نویسنده‌گان Parmmer,M.G. و Coates, G.R.,Xiao,L: انتشارات دانشگاه شیراز، ۱۹۹۹.
- [۲]. رضایی م.، چهرازی ع.، اصول برداشت و تفسیر نگاره‌ای چاه‌پیمایی، انتشارات دانشگاه تهران، ۲۰۰۶.
- [3]. Cowan B., *Nuclear magnetic resonance and relaxation*, Cambridge: Cambridge University Press.1997.
- [4]. Kenyon W. E., "Petrophysical principles of applications of NMR logging", The Log Analyst, Vol. 38, No. 2, pp. 21-43, 1997.
- [5]. Sørland G. H., Djurhus K. and Skauge A., "Absolute pore size distributions from NMR", University of Bergen, Norway, Diffusion Fundamentals 5,4.1-4.15, 2007.
- [6]. Bube K. P and Langan R. T., "Hybrid L1/L2 minimization with applications to tomography", Geophysics, Vol. 62, No. 4, pp. 1183-1195, 1997.
- [7]. Dunn K. J. and Bergman D. J., "LaToraca,nuclear magnetic resonance:petrophysical and logging applications", Vol. 32, pp. 89-90, 2002.
- [8]. Coates G., Marschall D., Mardonl D., and Galford J., "A new characterization of bulk-volume irreducible using magnetic resonance The Log Analyst", Vol. 39, No. 1, pp. 51–63., 1997.
- [9]. Chen S., Arro R., Minetto C., Grorgi D. and Liu C., *Methods for computing Swi and BVI from NMR logs*, HI, 39th SPWLA Annual Logging Symposium, 1998.
- [10]. Kenyon W., Day P., Straley C., and Willemesen J., "A tree part study of NMR longitudinal relaxation properties of water-saturated sandstones", SPE Formation Evaluation, Vol. 3, No. 3, pp. 622-636, 1988.